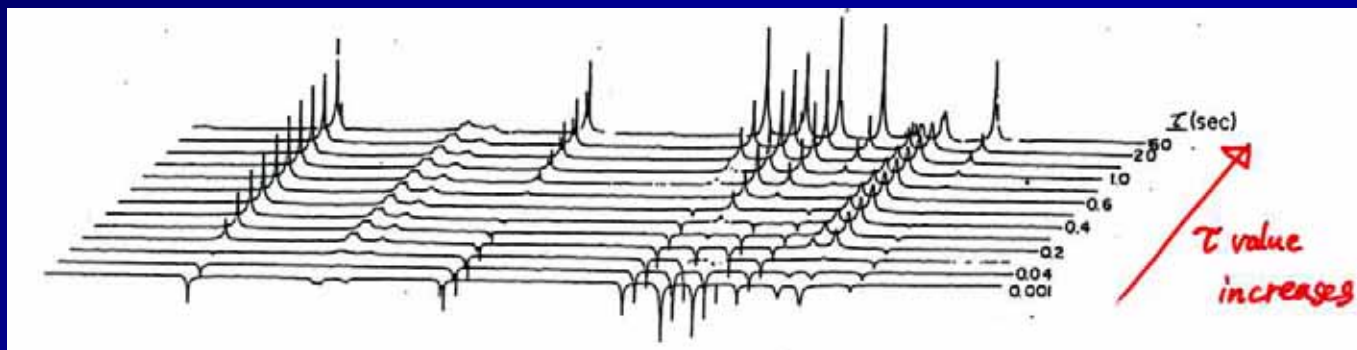
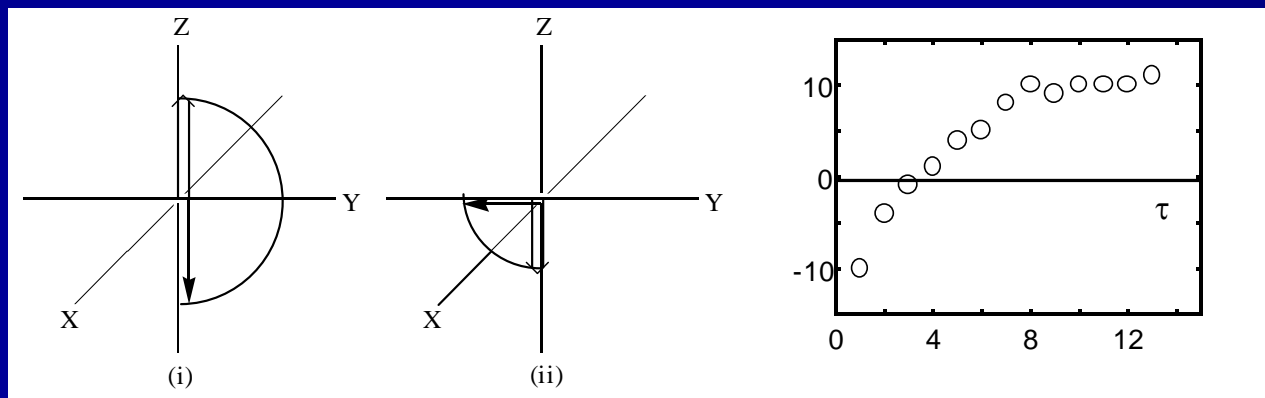


反転回復パルス法

180° – τ – 90° – 積算 – 待ち時間



スペクトルを並べて書いた例



磁化の緩和の様子

理論との比較のために

スペクトル密度関数 $J(\omega)$ は共鳴周波数 ω の関数

- ・測定周波数(装置)を変えて信頼性をあげる

$J(\omega)$ に含まれる 相関時間 τ_0, τ_1, τ_2 (DLM モデルの場合)

- ・温度依存性は全て同じと仮定

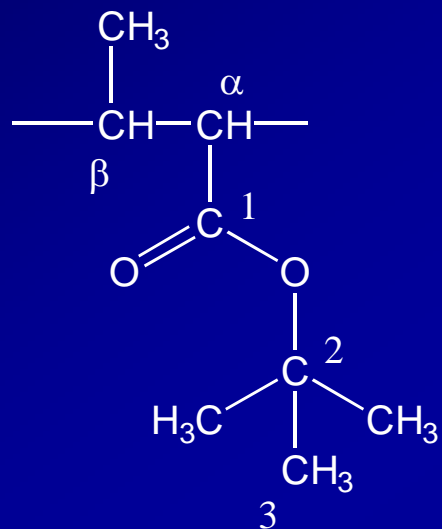
$\tau_0/\tau_1, \tau_1/\tau_2$ を決めればよい

- ・アレニウス型 (E_a のポテンシャル)

$$\tau = A \exp(E_a / RT)$$

実験例1: PTBMとPTBCの違い

側鎖置換基の結合位置(α , β 位)の違い

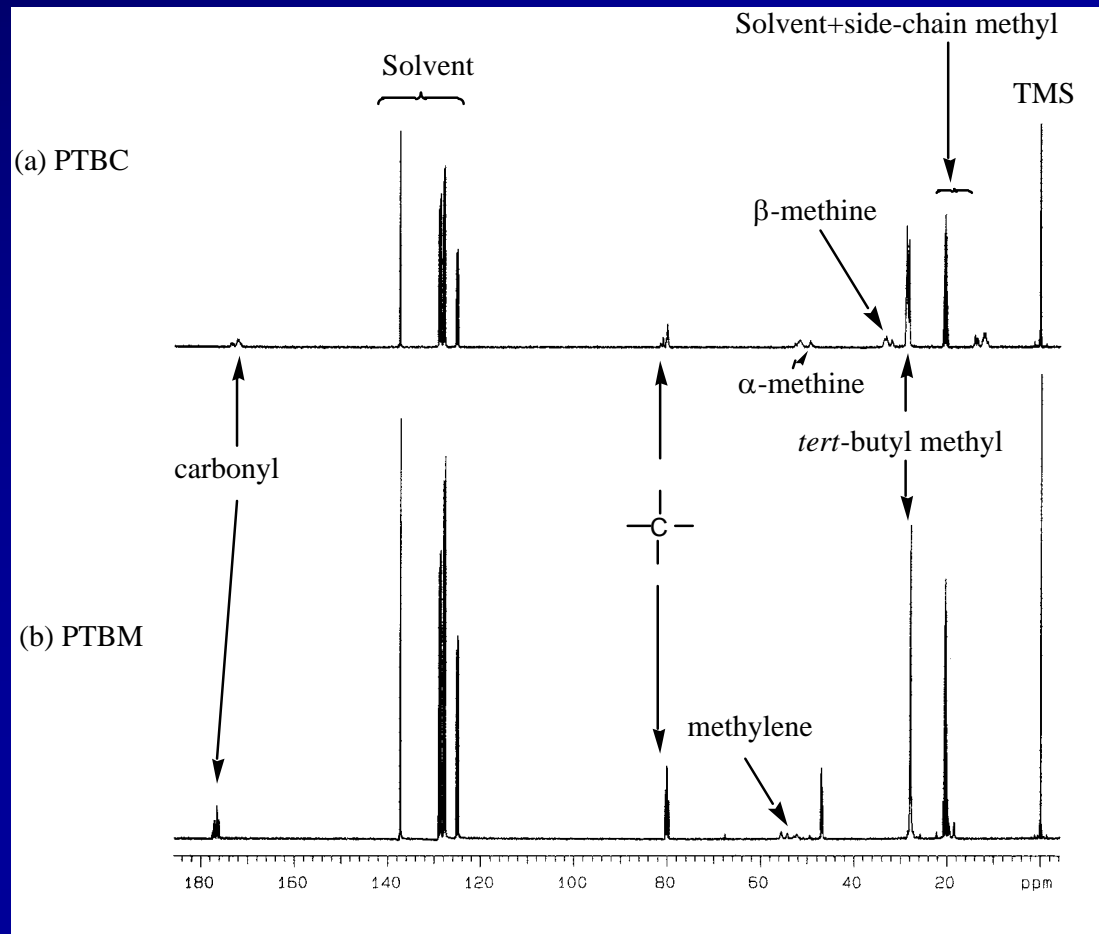


非常に大きな立体障害
運動性にも大きく影響か?

poly(*tert*-butyl crotonate)

α 位置換体: poly(*tert*-butyl methacrylate)

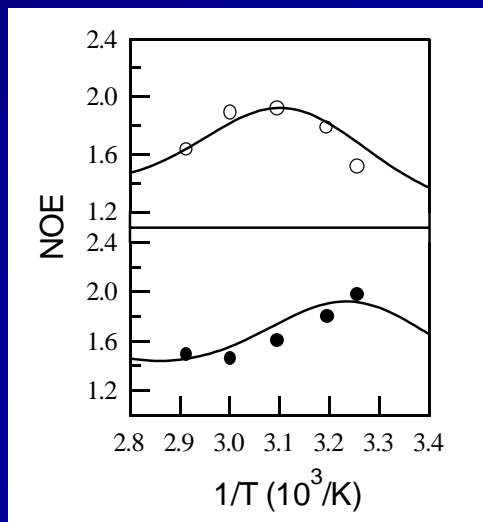
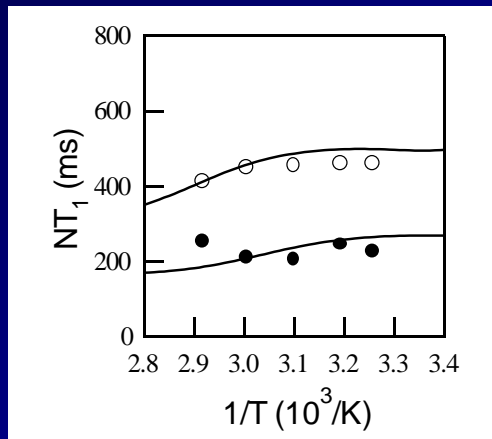
NMRスペクトル



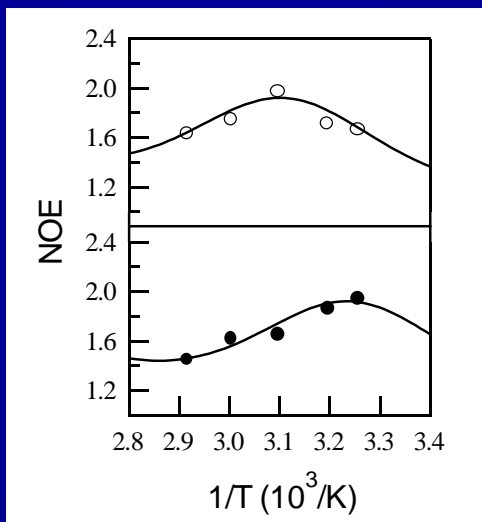
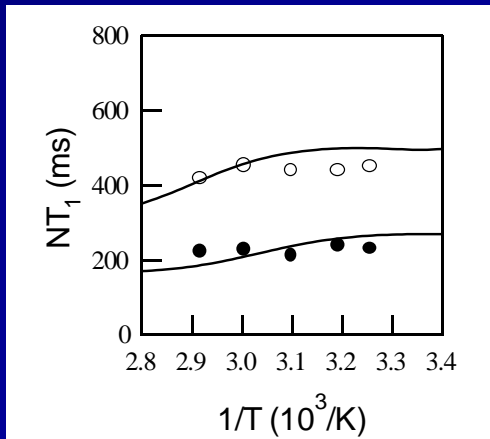
解析の対象は
 ^1H の結合した ^{13}C

普通の ^{13}C NMRスペクトル

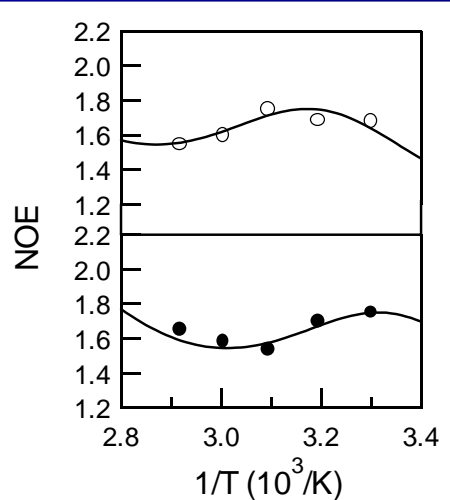
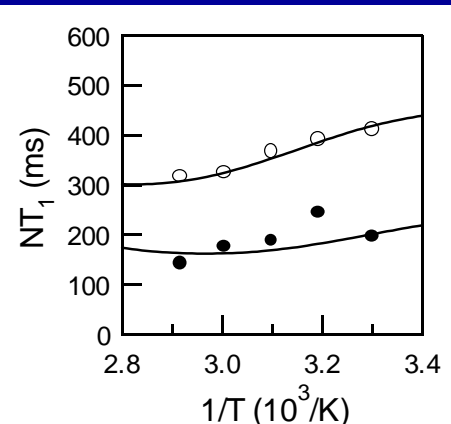
主鎖の T_1 とNOE



PTBC α -メチル炭素



PTBC β -メチル炭素



PTBMメチレン炭素

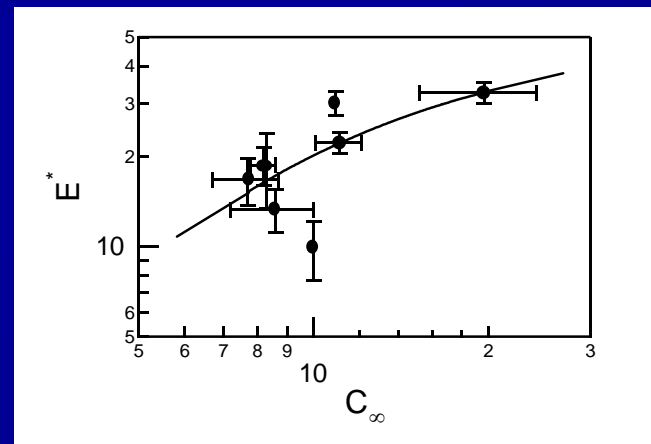
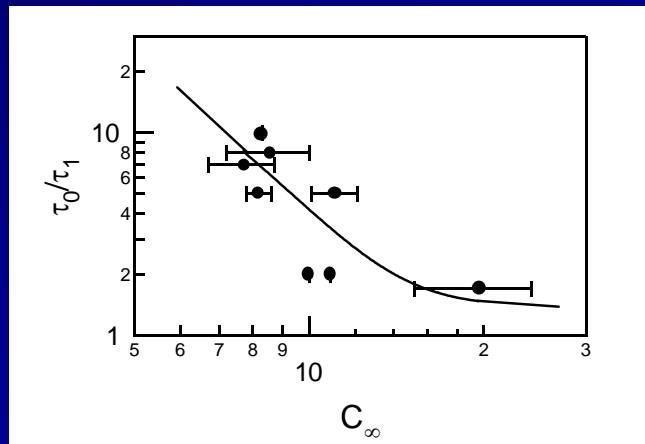
主鎖フィッティングパラメータ

	τ_0/τ_1	τ_1/τ_2	E_a (kJ/mol)	$10^{15}A$ (s)	θ
PTBC- α	1.7	60	38.9	7.4	30.5
PTBC- β	1.7	60	38.9	7.4	30.5
PTBM	2.0	30	36.4	7.4	30.5

τ_0/τ_1 と E_a に有意な違いが見られる

鎖の静的特性との関係

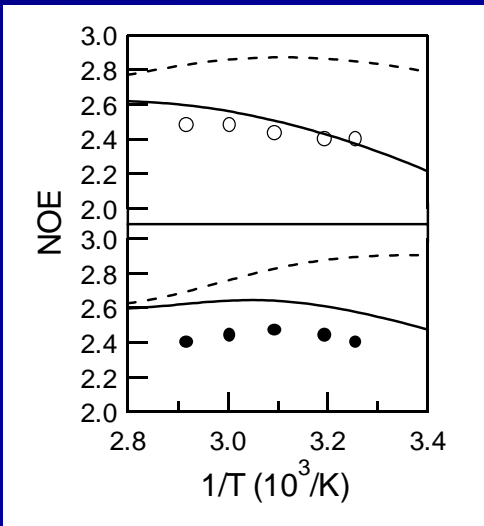
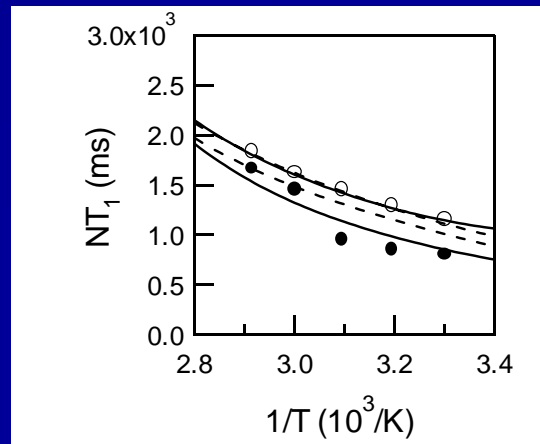
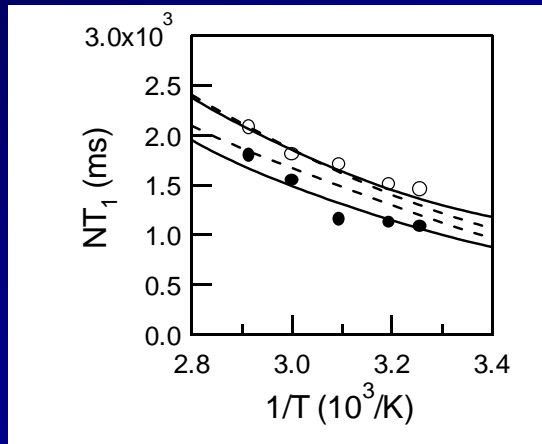
静的剛直性 C と動的剛直性 $\tau_0/\tau_1, E^*$



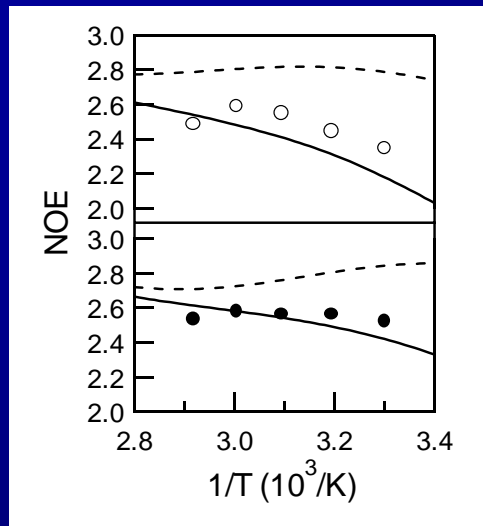
静的剛直性と動的剛直性の間には相関がある

側鎖の運動

実線:自由回転拡散
破線:3サイトジャンプ



PTBCの側鎖メチル



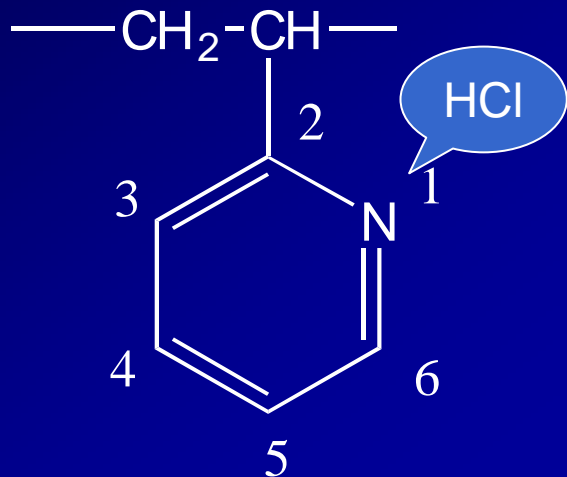
PTBMの側鎖メチル

側鎖フィッティングパラメータ

	PTBC		PTBM	
	E_{ir} (kJ/mol)	W_0 (s ⁻¹)	E_{ir} (kJ/mol)	W_0 (s ⁻¹)
free rotational diffusion	19.0	2.60×10^{12}	20.8	3.80×10^{12}
three site jump	15.4	1.57×10^{12}	14.0	7.20×10^{11}

自由回転拡散のほうが実験結果を再現する
側鎖先端は自由に運動している

実験例2: 電解質化の効果



非電解質高分子と高分子電解質



運動性に違いはあるか？

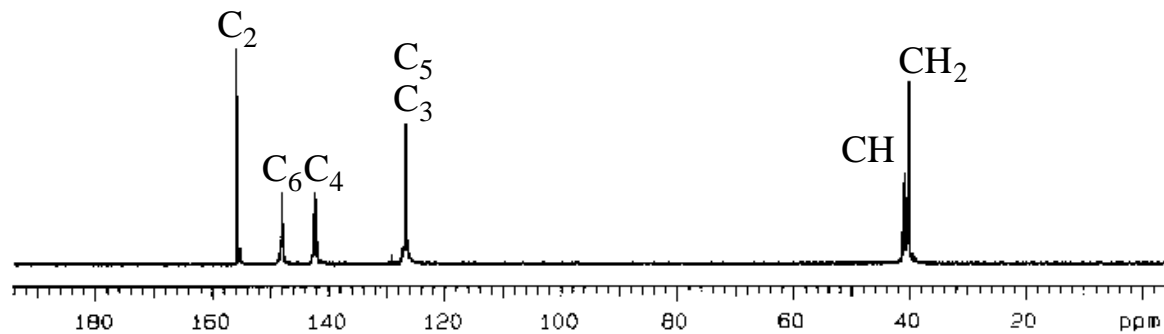
poly(2-vinylpyridine)

HCl等で容易に電解質化

違いを検証するには電解質化によって
構造があまり変わらないものがBest

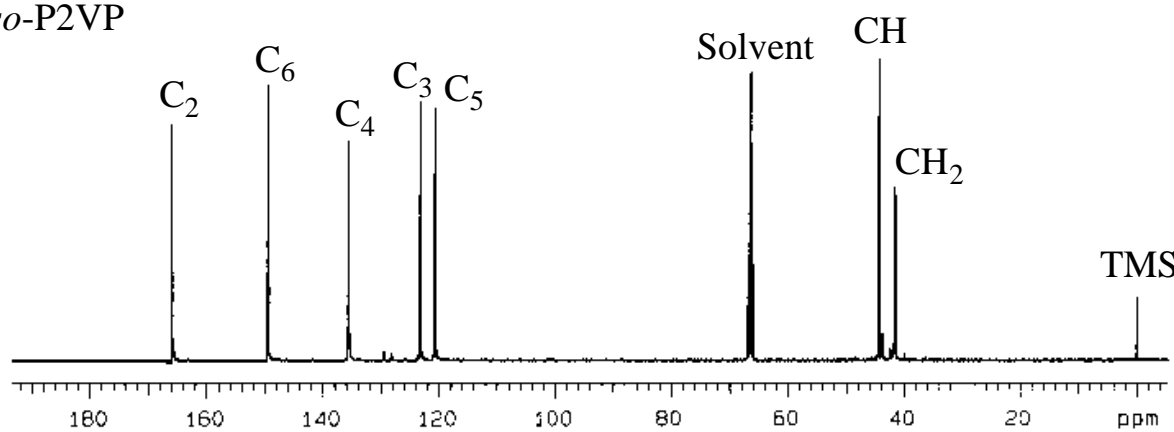
NMRスペクトル

(a) *iso*-P2VPCl



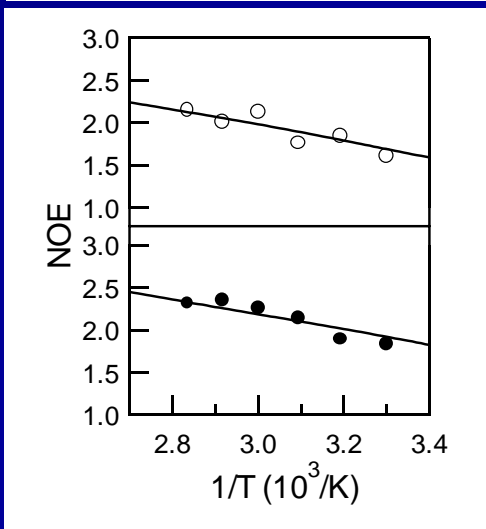
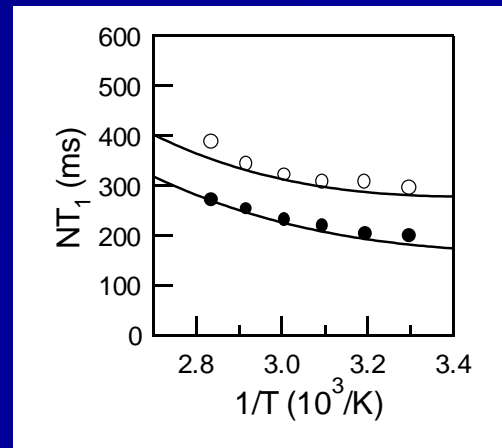
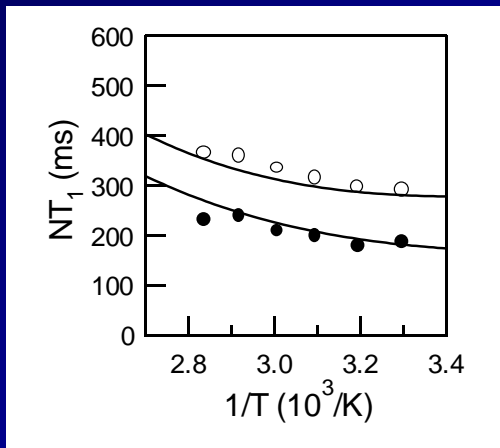
水中

(b) *iso*-P2VP

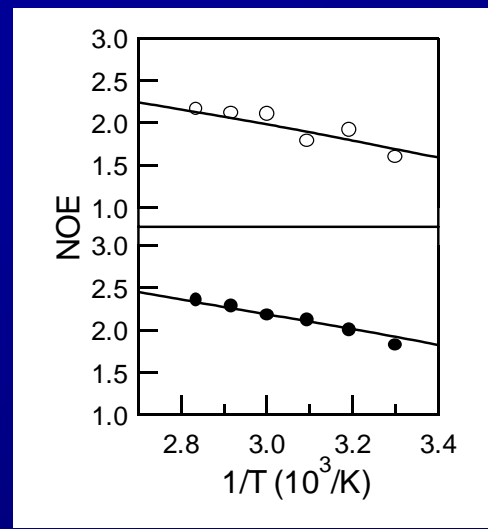


ジオキサン中

*iso-P2VPCl*の主鎖T₁&NOE

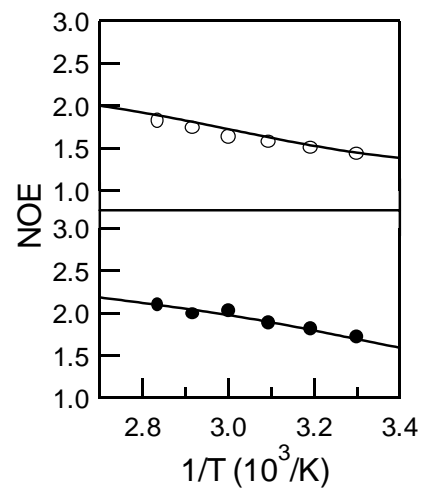
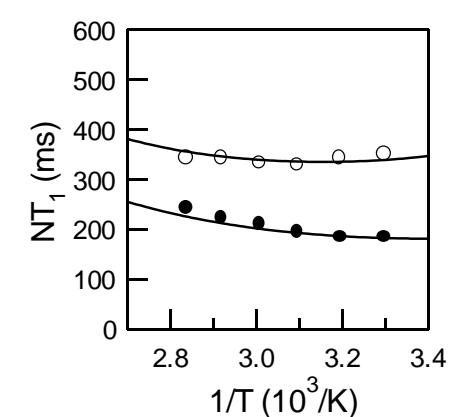
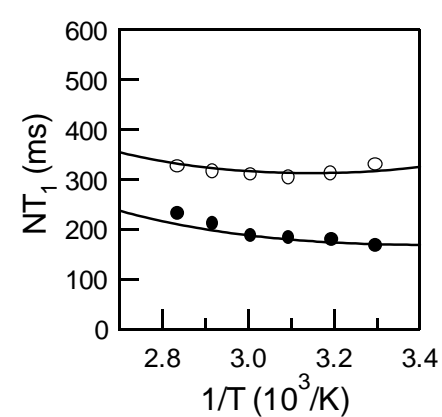


主鎖メチル炭素

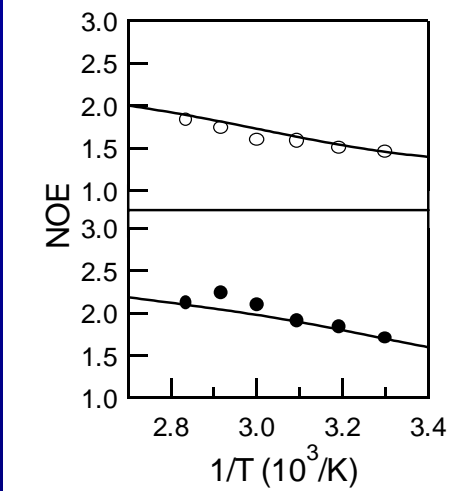


主鎖メチレン炭素

iso-P2VPの主鎖T₁&NOE



主鎖メチル炭素

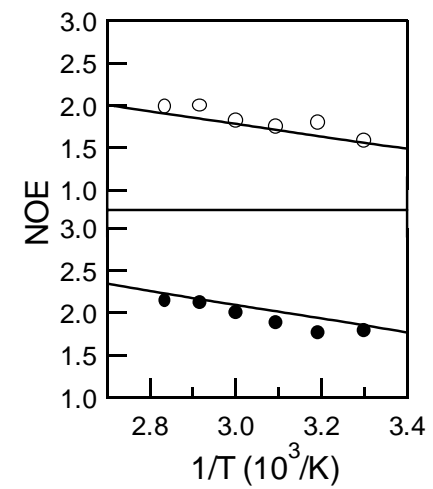
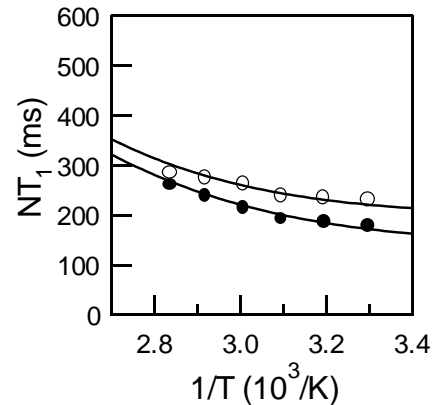


主鎖メチレン炭素

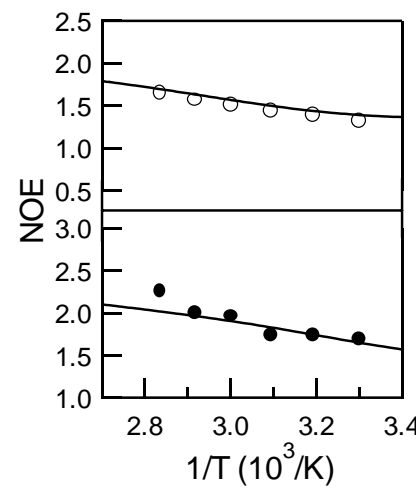
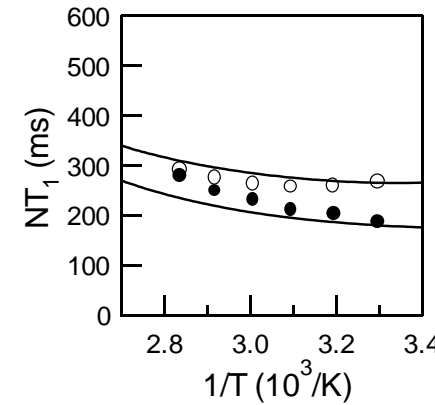
主鎖フィッティングパラメータ

Samples	<i>iso</i> -P2VPCl		<i>iso</i> -P2VP	
Groups	CH	CH ₂	CH	CH ₂
τ_0/τ_1	5	5	8	8
τ_1/τ_2	100	100	100	100
E_a/kJmol^{-1}	18.2	18.2	19.3	19.3
$10^{12}A/\text{s}$	0.50	0.50	0.60	0.60
θ/deg	20.0	20.0	24.0	27.0

側鎖T₁&NOE



P2VPCI(電解質)



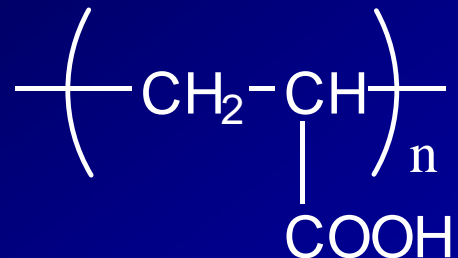
P2VP(非電解質)

側鎖フィッティングパラメータ

	E_{ir} (kJ/mol)	$10^{13}A_{ir}$ (s)	C	α (deg.)
<i>iso</i> -P2VPCl	21.0	0.18	1.6	28~30
<i>iso</i> -P2VP	20.0	0.15	2.1	37~39

芳香環の回転振幅に大きな制限

実験例3: 電荷密度の効果



poly(acrylic acid)

中和度 α を調整して
電荷密度が変えられる

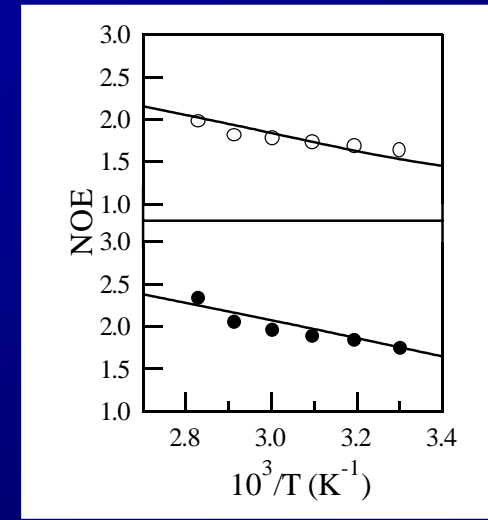
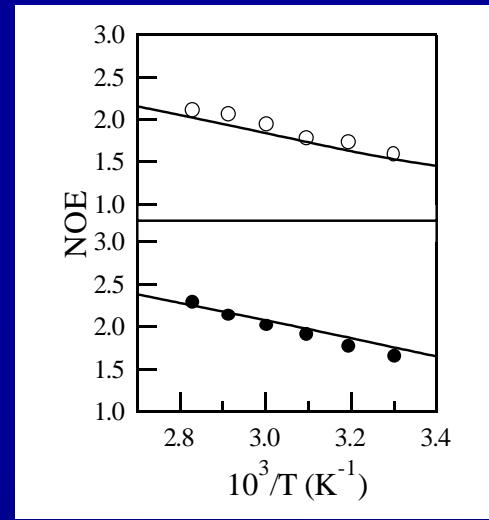
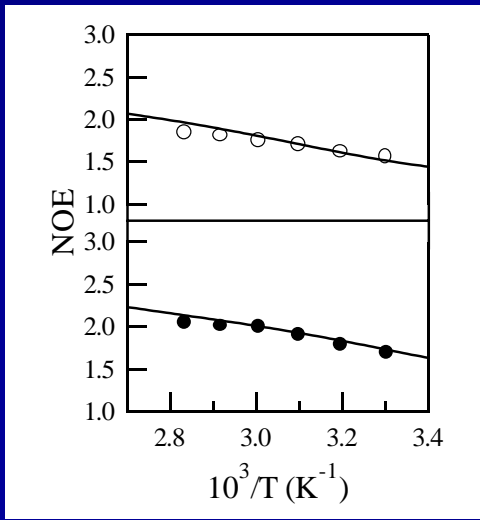
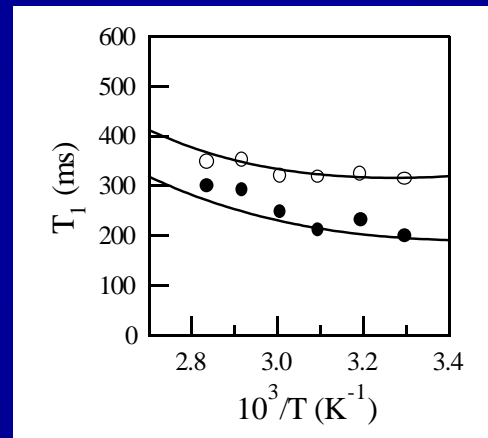
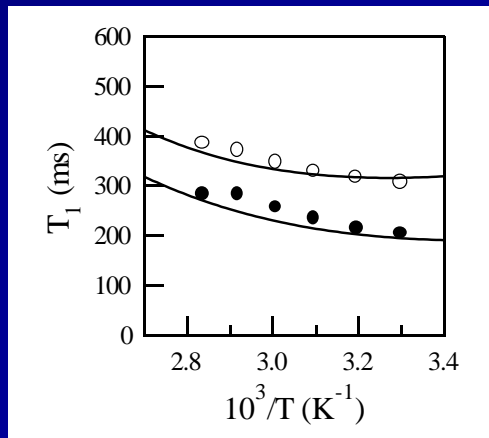
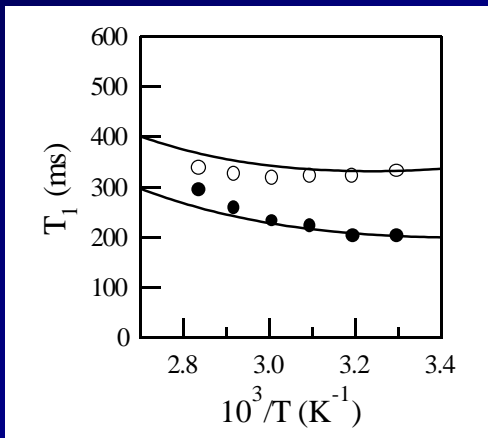
高分子電解質における電荷密度



物理的性質を決める重要な因子
運動性にも多大な影響？

電荷密度によって構造が不变
中和度によらず共通溶媒に溶ける

電荷密度に対して(主鎖メチン炭素)



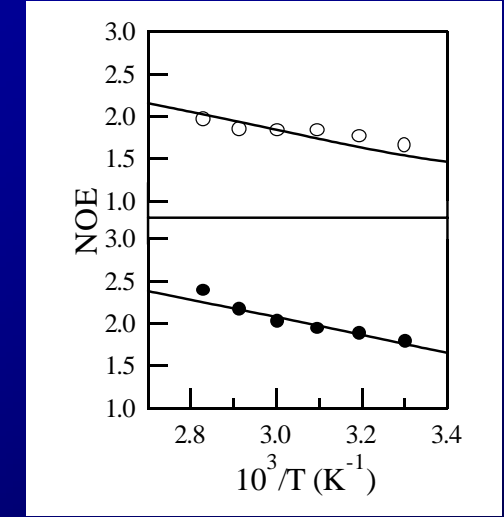
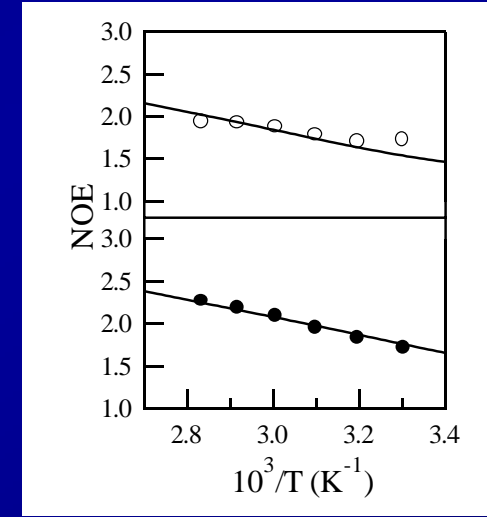
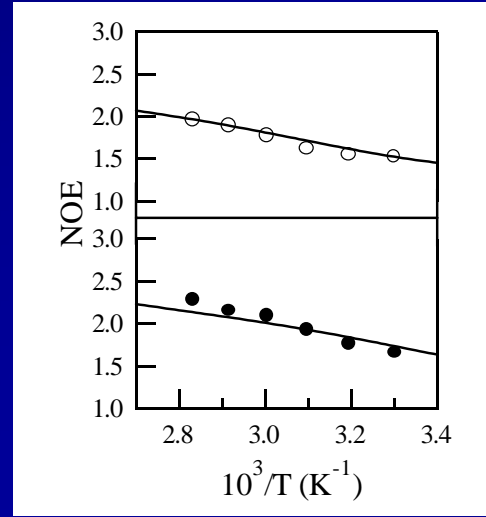
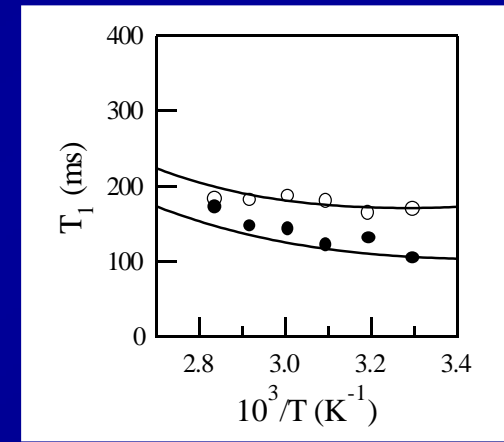
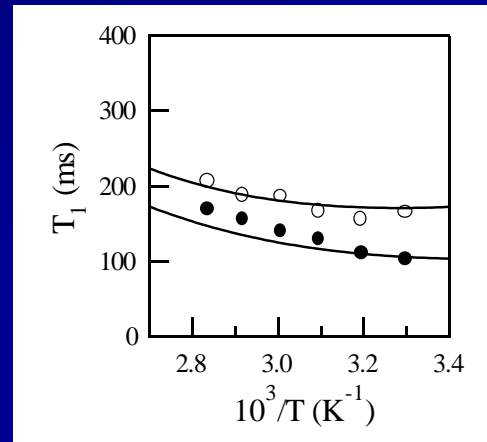
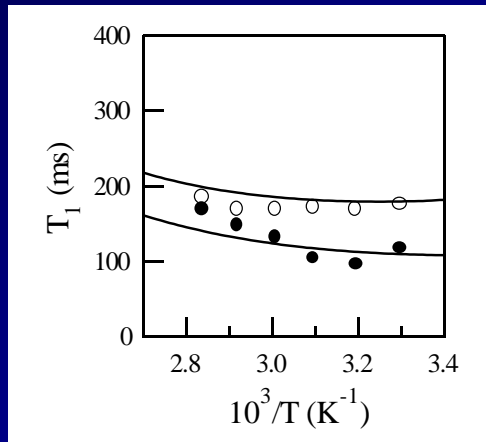
中和度

$\alpha=0$

$\alpha=0.2$

$\alpha=0.8$

電荷密度に対して(主鎖メチレン炭素)



中和度

$\alpha=0$

$\alpha=0.2$

$\alpha=0.8$

フィッティングパラメータ

α	0		0.2		0.8	
Groups	CH	CH ₂	CH	CH ₂	CH	CH ₂
τ_0/τ_1	7	7	4	4	4	4
τ_1/τ_2	100	100	100	100	100	100
E_a/kJmol^{-1}	19.2	19.2	19.2	19.2	19.2	19.2
10^{12}A/s	0.50	0.50	0.50	0.50	0.50	0.50
θ/deg	27.0	30.0	27.0	30.0	27.0	30.0